

مقایسه "مدل‌های رشد هایپربولستیک" با مدل‌های رشد کلاسیک در توصیف منحنی رشد جوجه‌های نر گوشتی سویه راس

محسن نیکخواه^۱، مجید متقی طلب^{۲*} و محسن زواره^۳

^{۱، ۲}، دانشجوی کارشناسی ارشد، دانشیار و استادیار، دانشکده کشاورزی دانشگاه گیلان
(تاریخ دریافت: ۸۷/۹/۲ - تاریخ تصویب: ۸۸/۱۰/۲)

چکیده

مدل‌های رشد کلاسیک مانند گومپترز و ریچاردز به صورت وسیع در مطالعات مربوط به جوجه‌های گوشتی استفاده می‌شود. هدف از این تحقیق بررسی امکان استفاده از ۳ نوع مدل‌هایپربولستیک موسوم به H1 (منتج از مدل رشد لجستیک)، H2 (مستقل)، و H3 (منتج از مدل رشد ویبول) برای توصیف پاسخ رشد در طیور گوشتی و مقایسه آنها با مدل‌های کلاسیک بوده است. در این تحقیق از داده‌های مربوط به میانگین وزن ۹۲ قطعه جوجه نر گوشتی که از سن ۱ تا ۵۶ روزگی پرورش داده شدند استفاده گردید. نکوبی برازش هر یک از مدل‌ها با استفاده از R^2 , MSE, RSD, Bias تعیین گردید. نتایج حاصل از این بررسی نشان داد که مدل H3 ($R^2 = 0.99993$) احتمالاً بدلیل انعطاف‌پذیری بیشتر، توانایی برازش بهتری داشته است. به علاوه مدل رشد H3 با داشتن بالاترین دقت ($R^2 = 0.99993$) و کمترین خطای $MSE = 264$ و $RSD = 0.5$ ($Bias = 0.0$) بهتر از دیگر مدل‌های رشد منحنی رشد جوجه‌های H1, H2 گوشتی را برازش کرده و به دنبال آنها مدل‌های رشد ویبول، گومپترز، ریچاردز، قرار داشتند، در حالیکه مدل رشد لجستیک به عنوان مدلی با کمترین دقت ($R^2 = 0.99897$) و بیشترین خطای $MSE = 3432$ برآورد گردید. استنتاج کلی این است که با توجه به دقت و ویژگی‌های مدل H3 می‌توان از آن در ارزیابی رشد جوجه‌های گوشتی استفاده نمود.

واژه‌های کلیدی: جوجه گوشتی، توابع غیرخطی رشد، هایپربولستیک، ریچاردز و گومپترز.

چند شاخص که ممکن است تفسیر زیستی نیز داشته باشند را نشان دهنده (Goliomytis et al., 2003) منحنی‌های رشد تغییرات منظم در ارتباط با وزن زنده با قسمت‌های آن را همزمان با افزایش سن که معمولاً به صورت سیگموندی (S شکل) می‌باشند را توصیف می‌کنند. امروزه مدل‌های رشد در سیستم‌های زیستی اهمیت ویژه‌ای داشته و از طریق آنالیز و مطالعه منحنی‌های رشد در طیور این امکان وجود دارد تا مراحل رشد آنها با قوانین رشد شناخته شده انطباق داده شده، تا به کمک آنها برنامه‌های مدیریتی و تغذیه‌ای جهت بهبود انتخاب و اثرات پرورش ارائه گردد. به علاوه

مقدمه

رشد به عنوان یک شاخص در سیستم زیستی، عبارت است از افزایش توده بدن حیوان در واحد زمان (Yang et al., 2006). پیش‌بینی نرخ رشد در مراحل مختلف پرورش این مزیت را دارد که امکان شناخت مواد مغذی مورد نیاز میسر شده، امکان ارائه اقتصادی‌ترین برنامه مدیریت تغذیه ممکن خواهد شد. از جمله راههای پیش‌بینی رشد استفاده از مدل‌های رشد است. مدل‌های رشد توابع ریاضی هستند که برای توصیف الگوی رشد وزن بدن یا اجزاء آن به کار می‌روند. به عبارت دیگر این توابع قادرند خلاصه‌ای از اطلاعات در رابطه با رشد در

ارائه شده و کلاس ۳ (H3) که منتج از مدل رشد وی بول^۳ می‌باشد طبقه‌بندی می‌شوند. Ahmadi & Mottaghitalab (2007) با مطالعه این گروه از مدل‌ها روی وزن جوجه گوشتی بدست آمده از داده‌های Roush et al. (2006) نشان دادند که چنین مدل‌هایی در جوجه‌های گوشتی نسبت به مدل‌های رایج دیگر دقت بیشتری دارند.

هدف از این پژوهش بررسی توانایی مدل‌های رشد هایپربولستیک در پیش‌بینی رشد جوجه‌های نر گوشتی سویه راس (پرورش داده شده در شرایط ایران) نسبت به مدل‌های مشتق شده و همچنین تعیین بهترین کلاس آنها و همزمان ارزیابی این گروه از مدل‌ها نسبت به مدل‌های رشد کلاسیک (گومپرتز و ریچاردز) بود.

مواد و روش‌ها

داده‌ها

تعداد ۱۰۰ قطعه جوجه نر گوشتی راس (سویه راس ۳۰۸) به صورت تصادفی از یک گله انتخاب و شماره پا بر روی همه آنها نصب گردید. جوجه‌ها روی بستر پرورش یافته و در طول دوره پرورش از برنامه نوری ۲۳ ساعت روشناختی و ۱ ساعت خاموشی استفاده شد. دسترسی پرندگان به آب و دان به صورت آزاد بود. پرندگان از ۲۱-۰ روز از جیره شروع کننده (۳۰۱ کیلوکالری انرژی متابولیسمی در هر کیلوگرم و ۲۱٪ پروتئین)، طی ۴۲-۲۱ روزگی از جیره رشد ۳۱۷۵ کیلوکالری انرژی متابولیسمی در هر کیلوگرم و ۲۱٪ پروتئین) و ۵۶-۴۲ روزگی از جیره پایانی (۳۲۲۵ کیلوکالری انرژی متابولیسمی در هر کیلوگرم و ۱۸٪ پروتئین) تغذیه شده و براساس برنامه رایج واکسینه شدند (National Research Council, 1994). تمامی جوجه‌ها روزانه و به صورت انفرادی وزن‌کشی و داده‌های مربوط به آن ثبت گردید. جدول ۱ میانگین، انحراف معیار، حداقل وحداکثر وزن مشاهده شده را نشان می‌دهد. در پایان دوره رکوردهای مربوط به ۸ قطعه از جوجه‌ها که در طول دوره تلف شدند حذف و از میانگین وزن ۹۲ قطعه پرندگان در این تحقیق استفاده گردید.

3. Wei bull growth model

از منحنی‌های رشد می‌توان جهت ارزیابی پتانسیل زننده نیز استفاده نمود (Aggrey, 2002; Aggrey et al., 2003; Knizetiva et al., 1985; Knizetova et al., 1991) در فرایند پیش‌بینی و توصیف منحنی رشد طیور مدل‌های زیادی ارائه شده که عموماً مبتنی بر دو مؤلفه می‌باشند، شامل:

۱. فاز سریع رشد؛ که از جوجه درآوری آغاز و تا نقطه عطف منحنی رشد (نرخ رشد در بالاترین حد) ادامه می‌یابد.

۲. فاز آهسته یا نزولی، که از نقطه عطف منحنی شروع و به وزن ماقزیم رشد یا وزن بلوغ ختم می‌شود (Roush et al., 2006)

مدل‌های مورد استفاده جهت پیش‌بینی رشد در طیور به طور کلی از نوع توابع رگرسیون غیرخطی مانند گومپرتز، ریچاردز و لجستیک می‌باشند (Knizetiva et al., 1985; Knizetova et al., 1991; Nahashon et al., 2006) که براساس توانایی هر یک در پیش‌بینی رشد و همچنین تعداد شاخص‌های مدل به دو گروه کلی تقسیم می‌شوند:

(الف) توابعی که حرکت سیگموئیدی آرام داشته، نقطه عطف آنها ثابت و به صورت درصدی از وزن نهایی بیان می‌شود (گومپرتز و لجستیک).

(ب) توابعی که دارای حرکت سیگموئیدی پیوسته بوده، نقطه عطف آنها متغیر بوده و می‌تواند در هر جایی از شروع تا پایان منحنی رشد رخ دهد (Rogers et al., 1987).

در سالهای اخیر مطالعات زیادی جهت بالا بردن دقت مدل‌ها انجام گرفته، که عموماً یا به صورت مدل جدید ارائه و یا مدل‌های موجود اصلاح تا دقت مدل نسبت به فرم قبلی ارتقاء یابد (Lopez et al., 2000). Tabatabai et al. (2005) با ارائه یک گروه از مدل‌های رشد سه و چهار پارامتری تحت عنوان "مدل‌های رشد هایپربولستیک"^۱ توانستند دقت پیش‌بینی مدل را نسبت به مدل‌های مرسوم در پیش‌بینی رشد سلول‌های سلطانی بهبود دهند. این گروه از مدل‌هادر سه کلاس شامل کلاس ۱ (H1) که فرم تعديل یافته مدل رشد لجستیک^۲ می‌باشد؛ کلاس ۲ (H2) که به طور مستقل

-
1. Hyperbolastic growth models
 2. Logistic growth model

جدول ۱- حداقل، حداکثر، میانگین و انحراف معیار، وزن (گرم) مشاهده شده جوجه‌های نرگوشتی سویه راس

سن (روز)	میانگین	حداقل	حداکثر	انحراف معیار	سن (روز)	میانگین	حداقل	حداکثر	انحراف معیار	سن (روز)	میانگین	حداکثر	حداقل
۱	۴۴	۳۷	۵۱	±۴	۲۹	۱۲۳۸	۱۱۰۵	۱۳۰۰	±۴	۱۳۹۵	۱۱۵۰	۱۳۹۵	۱۳۰۰
۲	۵۲	۴۴	۶۱	±۴	۳۰	۱۳۰	۱۰۸۸	۱۴۷۰	±۵	۱۵۸	۱۳۰	۱۴۷۰	۱۰۸۸
۳	۶۱	۴۹	۶۹	±۵	۳۱	۱۴۳۰	۱۱۸۵	۱۵۹۰	±۵	۱۶۲	۱۱۸۵	۱۵۹۰	۱۱۸۵
۴	۷۲	۶۴	۸۴	±۵	۳۲	۱۴۳۰	۱۲۶۰	۱۶۸۰	±۷	۱۶۲	۱۲۶۰	۱۶۸۰	۱۲۶۰
۵	۸۴	۷۴	۱۰۴	±۷	۳۳	۱۴۳۰	۱۳۴۰	۱۷۲۰	±۱۰	۱۵۷	۱۳۴۰	۱۷۲۰	۱۳۴۰
۶	۹۹	۸۱	۱۱۷	±۱۰	۳۴	۱۵۹۵	۱۴۵۰	۱۸۰۰	±۱۳	۱۵۷	۱۴۵۰	۱۸۰۰	۱۴۵۰
۷	۱۱۵	۹۶	۱۳۳	±۱۳	۳۵	۱۶۷۵	۱۳۹۰	۱۸۰۵	±۱۵	۱۷۷	۱۳۹۰	۱۸۰۵	۱۳۹۰
۸	۱۳۴	۱۱۱	۱۵۸	±۱۵	۳۶	۱۷۶۵	۱۴۴۰	۱۸۹۵	±۱۹	۱۸۷	۱۴۴۰	۱۸۹۵	۱۴۴۰
۹	۱۵۵	۱۲۵	۱۸۵	±۱۹	۳۷	۱۸۵۰	۱۵۱۰	۲۰۱۰	±۲۱	۱۸۵	۱۵۱۰	۲۰۱۰	۱۵۱۰
۱۰	۱۷۶	۱۴۵	۲۱۰	±۲۱	۳۸	۱۹۶۰	۱۵۹۰	۲۰۶۰	±۲۳	۱۸۸	۱۵۹۰	۲۰۶۰	۱۵۹۰
۱۱	۲۰۳	۱۷۲	۲۴۵	±۲۳	۳۹	۲۰۵۵	۱۶۵۰	۲۱۶۰	±۲۹	۱۹۲	۱۶۵۰	۲۱۶۰	۱۶۵۰
۱۲	۲۲۶	۱۹۱	۲۷۷	±۲۹	۴۰	۲۱۶۰	۱۸۲۰	۲۳۸۵	±۳۴	۱۹۸	۱۸۲۰	۲۳۸۵	۱۸۲۰
۱۳	۲۷۰	۲۱۰	۲۲۰	±۳۴	۴۱	۲۲۳۵	۱۸۲۰	۲۳۸۵	±۳۶	۲۰۳	۱۸۲۰	۲۳۸۵	۱۸۲۰
۱۴	۳۰۱	۲۶۵	۳۴۶	±۳۶	۴۲	۲۲۲۰	۱۹۰۰	۲۴۵۰	±۳۳	۲۱۹	۱۹۰۰	۲۴۵۰	۱۹۰۰
۱۵	۳۴۰	۲۹۰	۳۵۴	±۳۵	۴۳	۲۴۳۵	۱۹۹۵	۲۵۳۰	±۳۸	۲۱۰	۱۹۹۵	۲۵۳۰	۱۹۹۵
۱۶	۳۷۵	۳۳۵	۳۹۶	±۳۹	۴۴	۲۵۴۰	۲۰۶۵	۲۶۵۰	±۴۳	۲۲۲	۲۰۶۵	۲۶۵۰	۲۰۶۵
۱۷	۴۰۸	۳۷۰	۴۶۰	±۴۳	۴۵	۲۶۱۰	۲۱۵۵	۲۷۴۰	±۴۷	۲۲۴	۲۱۵۵	۲۷۴۰	۲۱۵۵
۱۸	۴۷۸	۴۲۰	۵۲۰	±۴۷	۴۶	۲۷۰۰	۲۲۱۰	۲۸۵۰	±۴۷	۲۲۲	۲۲۱۰	۲۸۵۰	۲۲۱۰
۱۹	۵۳۵	۴۶۵	۵۸۵	±۴۸	۴۷	۲۸۰۵	۲۲۹۵	۲۹۶۰	±۴۸	۲۲۴	۲۲۹۵	۲۸۰۵	۲۲۹۵
۲۰	۵۸۰	۵۲۰	۶۳۰	±۴۰	۴۸	۲۹۱۵	۲۲۸۵	۳۰۷۵	±۴۰	۲۲۴	۲۲۸۵	۳۰۷۵	۲۲۸۵
۲۱	۶۴۸	۵۶۵	۷۰۰	±۵۵	۴۹	۳۰۳۵	۲۴۷۰	۳۱۸۰	±۵۵	۲۲۴	۲۴۷۰	۳۱۸۰	۲۴۷۰
۲۲	۶۹۵	۶۰۵	۷۷۰	±۶۲	۵۰	۳۱۴۰	۲۵۶۵	۳۲۰۵	±۶۲	۲۲۴	۲۵۶۵	۳۲۰۵	۲۵۶۵
۲۳	۷۶۹	۶۷۵	۸۳۰	±۶۷	۵۱	۳۲۲۰	۲۶۸۰	۳۲۹۵	±۶۷	۲۲۴	۲۶۸۰	۳۲۹۵	۲۶۸۰
۲۴	۸۴۱	۷۵۰	۸۹۵	±۶۶	۵۲	۳۳۴۵	۲۷۶۵	۳۴۰۰	±۶۶	۲۲۴	۲۷۶۵	۳۴۰۰	۲۷۶۵
۲۵	۹۰۸	۸۰۵	۹۸۰	±۸۵	۵۳	۳۴۵۵	۲۷۳۵	۳۵۱۵	±۸۵	۲۲۵	۲۷۳۵	۳۵۱۵	۲۷۳۵
۲۶	۹۹۳	۸۸۰	۱۰۴۰	±۹۶	۵۴	۳۵۷۰	۲۸۰۵	۳۶۲۰	±۹۶	۲۲۶	۲۸۰۵	۳۶۲۰	۲۸۰۵
۲۷	۱۰۷۳	۹۴۵	۱۱۳۵	±۱۰۴	۵۵	۳۶۴۰	۲۸۱۰	۳۷۱۵	±۱۰۴	۲۲۶	۲۸۱۰	۳۷۱۵	۲۸۱۰
۲۸	۱۱۶۰	۱۰۵۰	۱۲۲۰	±۱۰۳	۵۶	۳۷۱۰	۲۸۵۵	۳۸۲۵	±۱۰۳	۲۲۷	۲۸۵۵	۳۸۲۵	۲۸۵۵

از مدل‌های رشد شامل مدل‌های اصلی که گروه مدل‌های رشد هایپربولستیک از آن مشتق شده‌اند (وی بول و لجستیک) و مدل‌های رشد مستقل (گومپرترز و ریچاردز)، استفاده شد. در همه مدل‌های رشد ارائه شده در جدول ۲، $W(t)$

مدل‌های رشد

جدول ۲ مدل‌های رشد مورد استفاده در تحقیق حاضر را نشان می‌دهد. علاوه بر گروه مدل‌های هایپربولستیک از مدل‌های رشد مرسم در طیور نیز جهت مقایسه و بررسی قابلیت توصیف و دقت این گروه

جدول ۲- توابع مدل‌های رشد مورد استفاده در این تحقیق (Tabatabai et al., 2005)

مدل رشد	شكل تابع	شاخص α
H1	$w(t) = \frac{M}{1 + \alpha \text{EXP}[-M\beta t - \theta \text{arcsinh}(t)]}$	$\alpha = \frac{M - W_0}{W_0} \text{EXP}[M\beta t_0 + \theta \text{arcsinh}(t_0)]$
H2	$W(t) = \frac{M}{1 + \alpha \text{arcsinh}[\text{EXP}(-M\beta t^\lambda)]}$	$\alpha = \frac{M - W_0}{W_0} \text{arcsin} h[\text{EXP}(-M\beta t_0^\gamma)]$
H3	$W(t) = M - \alpha \text{EXP}[-\beta t^\lambda - \text{arcsinh}(\theta t)]$	$\alpha = (M - W_0) \text{EXP}[\beta t_0^\lambda + \text{arcsinh}(\theta t_0)]$
لجستیک	$W(t) = \frac{M}{[1 + \alpha \text{EXP}(-M\beta t)]}$	$\alpha = \frac{M - W_0}{W_0} \text{EXP}(M\beta t_0)$
وی بول	$W(t) = M - \alpha \text{EXP}(-\beta t^\gamma)$	$\alpha = (M - P_0) \text{EXP}(\beta t_0^\gamma)$
ریچاردز	$W(t) = \frac{M}{[1 + \text{EXP}(-M\beta t)^\lambda]}$	$\alpha = \left[\left(\frac{M}{W_0} \right)^{\frac{1}{\lambda}} - 1 \right] \text{EXP}(M\beta t_0)$
گومپرترز	$W(t) = M \text{EXP}[-\alpha \text{EXP}(-M\beta t)]$	$\alpha = \text{LN}\left(\frac{M}{W_0}\right) \text{EXP}(M\beta t_0)$

هایپربولستیک بالاترین پیش‌بینی (۸۹۶۶ گرم) را نشان می‌دهد. مقایسه داده‌های بدست آمده از شاخص M (وزن نهایی)، حاکی از آن است که بین مدل‌های رشد از یک طرف و نیز بین آنها با مقدار مشاهده شده تفاوت معنی‌داری ($p \leq 0.05$) مشاهده می‌شود. اگرچه هیچ مدلی نیست که بتواند پاسخ حیوان را دقیقاً پیش‌بینی کند، اما ارزیابی کلی آماری نشان می‌دهد که کلاس H3 از گروه مدل‌های هایپربولستیک ($R^2 = 0.99993$; MSE = ۲۶۸؛ RSD = ۱۶) و مدل وی‌بول ($R^2 = 0.99992$; MSE = ۲۶۴؛ RSD = ۱۷) با بالاترین دقت و کمترین خطأ، نسبت به دیگر مدل‌های رشد توانست نزدیکترین و بهترین پیش‌بینی را ارائه دهنده. به دنبال آنها به ترتیب مدل‌های رشد گومپتر (R² = ۰.۹۹۸۵؛ MSE = ۵۰۶)، ریچاردز (R² = ۰.۹۹۸۴؛ MSE = ۵۳۸) و لجستیک قرار داشتند (جدول ۵). همچنین H1 نسبت به مدل رشد لجستیک (R² = ۰.۹۹۹۴۱؛ MSE = ۰.۹۹۹۴۱) در مقابل H3 (R² = ۰.۹۹۸۹۸؛ MSE = ۰.۹۹۹۴۲) نسبت به مدل رشد وی‌بول (R² = ۰.۹۹۹۴۳) در مقابل H3 (R² = ۰.۹۹۹۹۲) با دقت بالاتر و خطأ کمتر برآش رشد را میسر نمودند (جدول ۵). به علاوه کلاس H3 نسبت به دیگر مدل‌های رشد وزن شروع را بدون هیچگونه خطایی پیش‌بینی و هماهنگ با نتایج Tabatabaii et al. (2006) به خوبی خطای ناشی از شروع پیش‌بینی را کاهش داد. نتایج حاصل از این بررسی با نتایج بدست آمده از سایر پژوهش‌ها که در آنها از مدل‌های تعديل شده استفاده نمودند، مطابقت داشت (Brown et al., 1976; France et al., 1996b; Gill & Salomon, 1995; Lopez et al., 2000) از ویژگی‌های مدل H1 ارائه شده نسبت به مدل اصلی این است که الگوی تابع لجستیک براساس نقطه عطف به صورت همسان^۴ است، در حالیکه کلاس H1 با داشتن یک شاخص بیشتر از مدل لجستیک، انعطاف‌پذیری بیشتری داشته و می‌تواند الگوی رشد را به صورت غیرهمسان^۵ با افزایش یا کاهش نرخ رشد در طول دوره، برآش کند (جدول ۵). همچنین در کلاس H2 تعداد پارامترهای آن شبیه به کلاس H1 بوده و رشد را به صورت غیرهمسان پیش‌بینی کرده اما

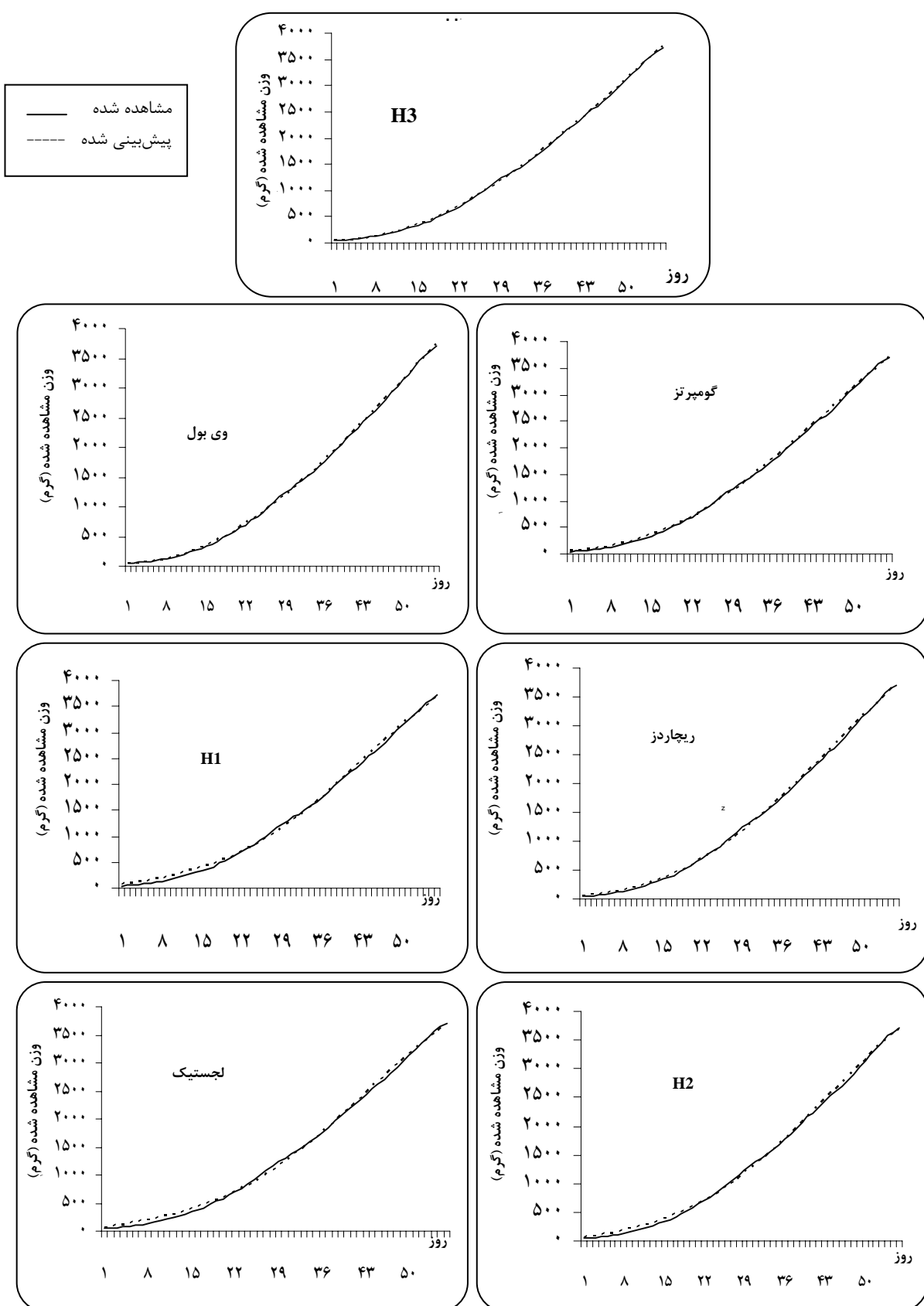
وزن زنده در زمان t ، β نرخ رشد ذاتی، θ و γ شاخص‌های مدل و M وزن بلوغ یا وزن نهایی است. در هر مدل α تابعی تعریف شده از شاخص‌های استفاده شده در مدل و وزن مشاهده شده (W_0) در زمان شروع می‌باشد که اجازه می‌دهد تا خطای ناشی از نقطه آغاز پیش‌بینی نسبت به آنچه که به صورت واقعی مشاهده می‌شود، کاهش یابد.

مدل‌های مختلف رشد با استفاده از دستور PROC NLIN نرم‌افزار آماری بر داده‌های آزمایشی مربوط به رشد جوجه‌های گوشته برآش داده شد (SAS Institute Inc, 1999) به وسیله ضریب تبیین (R^2)، میانگین مربعات خطأ^۶ (MSE)، انحراف استاندارد باقیمانده^۷ (RSD) و انحراف از مشاهده (Bias) استفاده شد.

نتایج و بحث

شکل ۱ منحنی رشد بدست آمده از هفت مدل رشد مورد بررسی را نشان می‌دهد. براساس این نمودار همه مدل‌های رشد به جز مدل لجستیک که در فاز ابتدایی خطای آن قابل توجه بود، مدل‌های دیگر توانستند رشد را به خوبی برآش نمایند. وزن مشاهده شده و پیش‌بینی شده از ۱ تا ۵۶ روزگی بوسیله هر یک از مدل‌های رشد همراه با خطای پیش‌بینی مدل، تخمین پارامترهای هر یک از مدل‌های رشد و برخی شاخص‌های مورد استفاده در مقایسه آنها در جداول ۴ و ۵ ارائه شده است. براساس میزان دقت و خطای پیش‌بینی در گروه مدل‌های هایپربولستیک، کلاس H3 این گروه بهترین پیش‌بینی (R² = ۰.۹۹۹۹۳؛ MSE = ۲۶۴؛ RSD = ۱۶؛ Bias = ۰/۵) نسبت به H2 (R² = ۰.۹۹۹۹۲؛ MSE = ۱۲۱۳؛ RSD = ۳۴؛ Bias = -۹) و H1 (R² = ۰.۹۹۹۶۴؛ MSE = ۱۹۸۳؛ RSD = ۴۴؛ Bias = -۱۱) ارائه نمود. تخمین پارامترهای هر یک از مدل‌های رشد در جدول ۴ ارائه شده است. تخمین وزن نهایی (M)، مدل لجستیک کمترین پیش‌بینی (۴۵۷۹ گرم) و کلاس H3 گروه

-
1. Goodness of fit
 2. Mean square error
 3. Residual standard deviation



شکل ۱- وزن بدن مشاهده شده و پیش‌بینی شده توسط هر یک از مدل‌های رشد

جدول ۳- میزان وزن (گرم) مشاهده شده و پیش‌بینی شده بوسیله مدل‌ها، همراه با باقیمانده آنها

	سن	مشاهده شده (روز)	H1	H2	H3	لجستیک	ریچاردز	وی بول	Res	Pre. ¹	Res ²
-1	۱	۴۴	-۲۰	۶۴	۴۴	-۱۷	۶۱	-۵	۴۹	-۷	۵۱
۴	۲	۵۲	-۳۰	۸۳	۴۶	-۲۳	۷۵	-۷	۱۲۶	-۹	۶۱
۷	۳	۶۱	-۳۹	۱۰۰	۵۲	-۲۸	۸۹	-۹	۱۳۷	-۱۱	۷۲
۸	۴	۷۲	-۴۶	۱۱۸	۴۴	-۳۳	۱۰۵	-۱۰	۱۵۰	-۱۲	۸۴
۹	۵	۸۴	-۵۷	۱۳۷	۴۴	-۳۷	۱۲۱	-۱۳	۱۶۴	-۱۴	۹۸
۹	۶	۹۹	-۵۷	۱۵۶	۴۴	-۴۰	۱۳۹	-۱۳	۱۷۹	-۱۰	۱۱۴
۷	۷	۱۱۵	-۶۱	۱۷۶	۴۴	-۴۴	۱۵۹	-۱۱	۱۹۵	-۱۰	۱۳۲
۶	۸	۱۳۴	-۶۳	۱۹۷	۴۴	-۴۶	۱۸۰	-۱۰	۲۱۳	-۱۶	۱۵۲
۴	۹	۱۴۵	-۶۵	۲۲۰	۴۴	-۴۸	۲۰۳	-۷	۲۲۲	-۱۷	۱۷۴
-۲	۱۰	۱۷۶	-۶۸	۲۴۴	۴۴	-۵۱	۲۲۷	-۲	۲۵۳	-۲۱	۱۹۸
-۴	۱۱	۲۰۳	-۶۹	۲۷۰	۴۴	-۵۱	۲۵۴	-۱	۲۷۵	-۲۰	۲۲۵
-۳	۱۲	۲۳۶	-۶۲	۲۹۸	۴۴	-۴۷	۲۸۳	-۰	۳۰۰	-۱۸	۲۵۴
-۴	۱۳	۲۷۰	-۵۷	۲۷۷	۴۴	-۴۳	۲۱۳	-۱	۲۸۴	-۱۴	۲۸۶
-۱۰	۱۴	۳۰۱	-۵۸	۳۵۹	۴۴	-۴۶	۳۴۷	-۹	۳۱۹	-۱۸	۳۲۰
-۱۲	۱۵	۳۴۰	-۵۳	۳۹۳	۴۴	-۴۲	۳۸۲	-۱۱	۳۵۶	-۱۶	۳۵۷
-۲۰	۱۶	۳۹۵	-۵۴	۴۲۹	۴۴	-۴۵	۴۲۰	-۲۲	۳۹۷	-۴۵	۳۹۷
-۳۴	۱۷	۴۴۰	-۵۲	۴۶۸	۴۴	-۴۳	۴۴۱	-۳۲	۴۵۶	-۴۸	۴۴۰
-۱۳	۱۸	۴۸۶	-۵۱	۴۷۸	۴۴	-۴۶	۴۹۰	-۱۲	۴۸۶	-۸	۴۸۶
-۷	۱۹	۵۳۵	-۵۳	۵۳۵	۴۴	-۴۷	۵۴۲	-۱	۵۳۵	-۱	۵۳۵
-۱۶	۲۰	۵۸۶	-۵۸	۵۸۶	۴۴	-۴۹	۵۴۹	-۱۷	۵۸۷	-۶	۵۸۶
-۵	۲۱	۶۴۱	-۶	۶۴۸	۴۴	-۵۴	۶۴۹	-۱	۶۴۱	-۶	۶۴۱
-۱۸	۲۲	۶۹۵	-۹	۶۹۵	۴۴	-۵۹	۶۹۹	-۱۹	۶۸۰	-۴	۶۹۹
-۶	۲۳	۷۶۰	-۷	۷۶۰	۴۴	-۷۶	۷۷۶	-۸	۷۶۰	-۹	۷۶۰
۲	۲۴	۸۲۳	-۱۷	۸۲۴	۴۴	-۸۲۴	۸۴۰	-۱	۸۲۳	-۱۸	۸۲۳
۲	۲۵	۸۸۹	-۱	۸۸۹	۴۴	-۸۰۷	۸۰۷	-۱	۸۸۹	-۱۹	۸۸۹
۱۸	۲۶	۹۷۵	-۲۴	۹۵۹	۴۴	-۹۱۹	۹۴۹	-۳۴	۹۵۹	-۲۴	۹۷۵
۲۷	۲۷	۱۰۴۶	-۴۳	۱۰۳۰	۴۴	-۹۸۷	۱۰۳۱	-۲۵	۱۰۴۸	-۵۳	۱۰۴۶
۴۰	۲۸	۱۱۲۰	-۵۵	۱۱۰۵	۴۴	-۱۰۶۰	۱۱۰۵	-۳۹	۱۱۲۱	-۵۷	۱۱۲۰
۴۲	۲۹	۱۱۹۶	-۵۶	۱۱۸۲	۴۴	-۱۱۳۶	۱۱۸۲	-۴۱	۱۱۹۷	-۷	۱۱۸۲
۲۷	۳۰	۱۲۷۳	-۳۹	۱۲۶۱	۴۴	-۱۲۱۵	۱۲۶۱	-۲۵	۱۲۷۵	-۵۴	۱۲۷۳
۲۷	۳۱	۱۳۵۳	-۳۷	۱۳۴۳	۴۴	-۱۲۹۸	۱۳۴۳	-۲۶	۱۳۵۴	-۵۴	۱۳۵۳
-۴	۳۲	۱۴۳۴	-۴	۱۴۲۶	۴۴	-۱۳۸۵	۱۴۲۶	-۶	۱۴۳۶	-۲۰	۱۴۳۴
-۸	۳۳	۱۵۱۸	-۲	۱۵۱۲	۴۴	-۱۴۷۶	۱۵۱۲	-۹	۱۵۱۹	-۱۵	۱۵۱۸
-۸	۳۴	۱۶۰۳	-۵	۱۶۰۰	۴۴	-۱۵۶۷	۱۵۹۹	-۹	۱۶۴۴	-۱۲	۱۶۰۳
-۱۵	۳۵	۱۶۹۰	-۱۴	۱۶۸۹	۴۴	-۱۶۸۹	۱۶۸۹	-۱۵	۱۶۹۰	-۱	۱۶۹۰
-۱۳	۳۶	۱۷۷۸	-۱۵	۱۷۸۰	۴۴	-۱۷۸۰	۱۷۷۹	-۱۳	۱۷۷۸	-۱	۱۷۷۸
-۱۸	۳۷	۱۸۶۸	-۲۳	۱۸۷۳	۴۴	-۱۸۵۹	۱۸۷۳	-۲۲	۱۸۶۸	-۱۰	۱۸۶۸
۱	۳۸	۱۹۵۹	-۶	۱۹۶۶	۴۴	-۱۹۶۱	۱۹۶۵	-۵	۱۹۵۹	-۴	۱۹۵۹
۳	۳۹	۲۰۵۲	-۶	۲۰۶۱	۴۴	-۲۰۸۳	۲۰۶۰	-۴	۲۰۵۲	-۲	۲۰۵۲
۱۵	۴۰	۲۱۴۵	-۳	۲۱۵۷	۴۴	-۲۱۶۷	۲۱۵۷	-۱۵	۲۱۴۵	-۸	۲۱۴۵
-۵	۴۱	۲۲۴۰	-۱۹	۲۲۵۴	۴۴	-۲۲۷۱	۲۲۵۱	-۱۷	۲۲۴۲	-۴۴	۲۲۴۰
-۱۶	۴۲	۲۲۳۶	-۳۱	۲۲۳۱	۴۴	-۲۲۷۵	۲۲۳۹	-۲۹	۲۲۳۵	-۳۱	۲۲۳۶
۲	۴۳	۲۴۳۳	-۱۴	۲۴۴۹	۴۴	-۲۴۷۹	۲۴۴۷	-۱۲	۲۴۳۳	-۳	۲۴۳۳
۹	۴۴	۲۵۳۱	-۷	۲۵۴۷	۴۴	-۲۵۲۷	۲۵۴۷	-۵	۲۵۳۱	-۱۱	۲۵۳۱
-۱۹	۴۵	۲۶۲۹	-۳۶	۲۶۴۶	۴۴	-۲۶۸۴	۲۶۴۶	-۳۴	۲۶۲۹	-۱۸	۲۶۲۹
-۲۸	۴۶	۲۷۲۸	-۴۴	۲۷۴۴	۴۴	-۲۷۸۵	۲۷۴۴	-۴۲	۲۷۷۲	-۵۳	۲۷۲۸
-۲۳	۴۷	۲۸۲۸	-۳۸	۲۸۴۳	۴۴	-۲۸۸۳	۲۸۴۳	-۳۶	۲۸۲۸	-۲۲	۲۸۲۸
-۱۳	۴۸	۲۹۴۸	-۴۷	۲۹۴۲	۴۴	-۲۹۷۹	۲۹۴۰	-۴۵	۲۹۷۷	-۳۷	۲۹۴۸
۶	۴۹	۳۰۲۹	-۵	۳۰۴۰	۴۴	-۳۰۷۳	۳۰۳۸	-۳	۳۰۲۹	-۱۰	۳۰۲۹
۱۰	۵۰	۳۱۳۰	-۲	۳۱۲۸	۴۴	-۳۱۶۳	۳۱۳۶	-۱۱	۳۱۲۹	-۷	۳۱۳۰
-۱	۵۱	۳۲۳۱	-۵	۳۲۲۵	۴۴	-۳۲۵۱	۳۲۲۴	-۴	۳۲۳۱	-۱۳	۳۲۳۱
۱۲	۵۲	۳۲۳۳	-۱۳	۳۲۲۲	۴۴	-۳۲۳۱	۳۲۲۱	-۱۲	۳۲۳۳	-۸	۳۲۳۳
۲۱	۵۳	۳۴۳۴	-۲۷	۳۴۲۸	۴۴	-۳۴۱۶	۳۴۲۸	-۲۰	۳۴۳۴	-۲۶	۳۴۳۴
۳۴	۵۴	۳۵۳۶	-۴۷	۳۵۲۳	۴۴	-۳۴۹۳	۳۵۲۳	-۳۳	۳۵۳۷	-۵۱	۳۵۳۶
۲	۵۵	۳۶۳۸	-۲۲	۳۶۱۸	۴۴	-۳۵۶۷	۳۶۱۸	-۱	۳۶۳۹	-۲۲	۳۶۳۸
-۲۹	۵۶	۳۷۳۹	-۱	۳۷۱۱	۴۴	-۳۶۳۷	۳۷۱۲	-۳۱	۳۷۷۱	-۱۶	۳۷۳۹

1- Pre= Predict 2- Res= Residual

جدول ۴- تخمین پارامترهای هر یک از مدل‌های رشد

γ	θ	β	M (وزن نهایی-گرم) (نرخ رشد ذاتی)	مدل
-	-	-	-	H1
-	-	-	-	H2
۲/۰۲	-۰/۰۰۰۲	-	-۰/۰۰۰۱۵۸	H3
-	-	-	-۰/۰۰۰۰۷۳	گومپرتز
-	-	-	-۰/۰۰۰۰۸۴	لجستیک
۱۶/۱	-	-	-۰/۰۰۰۰۶۸	ریچاردز
۲/۰۸	-	-	-۰/۰۰۰۰۴۷	وی بول

جدول ۵- شاخص‌های مورد استفاده در مقایسه مدل‌های رشد

وی بول	ریچاردز	لجستیک	گومپرتز	H3	H2	H1	مدل رشد	R ²
۰/۹۹۹۹۲	۰/۹۹۹۸۴	۰/۹۹۸۹۸	۰/۹۹۹۸۵	۰/۹۹۹۹۳	۰/۹۹۹۶۴	۰/۹۹۹۴۱		
۲۶۸	۵۲۸	۳۴۴۲	۵۰۶	۲۶۴	۱۲۱۳	۱۹۸۳	MSE	
۱۷	۲۳	۵۸	۲۳	۱۶	۳۴	۴۴	RSD	
.	-۳	-۱۲	-۲	۰/۵	-۹	-۱۱	BIAS	

در پیش‌بینی رشد در طیور گوشتی و همچنین مطالعات زیستی استفاده نمود.

نتیجه‌گیری نهایی

از مدل‌های رشد هایپربولستیک می‌توان با دقت بالا و کمترین خطا نسبت به توابع کلاسیک (گومپرتز و ریچاردز) در پیش‌بینی و برآش منحنی‌های رشد در جوجه‌های گوشتی استفاده نمود. به علاوه به دلیل انعطاف‌پذیری مدل (بویژه تخمین وزن شروع) خروجی مطالعه بهبود یافته و بنابراین پیشنهاد می‌شود که در هنگام انتخاب مدل، این گروه نیز مورد ارزیابی قرار گیرند.

قادر نیست الگوی رشد کاهشی را به خوبی برآش نماید (Tabatabai et al., 2005). انعطاف‌پذیری بیشتر H3 ممکن است به دلیل دقت در پیش‌بینی و برآش بهتر رشد نسبت به دیگر مدل‌های رشد باشد (Darmani Kuhi et al., 2003). نتایج حاصل از این بررسی هماهنگ با نتایج بدست آمده از Ahmadi & Mottaghitalab (2005) و (2007) Tabatabai et al. نشان می‌دهد که گروه مدل‌های رشد هایپربولستیک بخوبی قادرند در پیش‌بینی منحنی رشد در طیور مورد استفاده قرار گیرند، اگرچه کلاس H3 گروه مدل‌های رشد هایپربولستیک را می‌توان به عنوان "بهترین" مدل

REFERENCES

1. Ahmady, H. & Mottaghitalab, M. (2007). Hyperbolastic Models as a new powerful tool to describe broiler growth kinetics. *Poult. Sci*, 86, 2461–2465.
2. Aggrey, S. E. (2002). Comparison of three nonlinear and spline regression models for describing chicken growth curves. *Poult. Sci*, 81, 1782–1788.
3. Aggrey, S. E., Ankra-badu, G. A. & Marks, H. L. (2003). Effect of long term divergent selection on growth characteristics in Japanese Quil. *Poult. Sci*, 82, 538-542.
4. Brown, J. E., Fitzhugh Jr., H. A. & Cartwright, T. C. (1976). A comparison of nonlinear models for describing weight-age relationships in cattle. *J. Anim. Sci*, 42, 810-818.
5. Darmani Kuhi, H., Kebreab, E., Lopez, S. & France, J. (2003). An evaluation of different growth functions for describing the profile of live weight wit time [age] in meat and egg strains of chicken. *Poult. Sci*, 82, 1536-1543.
6. France, J., Dijkstra, J., Thornley, J. H. M. & Dhanoa, M. S. (1996b). A simple but flexible growth function. *Growth Dev. Aging*, 60(22), 71-83
7. Gille, U. & Salomon, F. V. (1995). Bone growth in ducks through mathematical models with special reference to the Janos check growth curve. *Growth Dev. Aging*, 59, 207-214.
8. Goliomytis, M., Panopoulou, E. & Rogdakis, E. (2003). Growth Curves for Body Weight and Major Component Parts, Feed Consumption, and Mortality of Male Broiler Chickens Raised to Maturity. *Poult.*

- Sci*, 81, 932–938.
- 9. Knizetova, H., Hynek, J., Hajkova, H., Knize, B. & Siler, R. (1985). Growth curves of chickens with different type of performance. *Z. Tierzucht. Zuchungsbiol*, 102, 256–270.
 - 10. Knizetova, H., Hynek, J., Knize, B. & Roubicek, J. (1991). Analysis of growth curves of fowl. I. Chickens. *Br. Poult. Sci*, 32, 1027–1038.
 - 11. Lopez, S., France, J., Dhanoa, M. S., Mould, F. & Dijkstra, J. (2000). A generalized Michaelis-Menten equation for the analysis of growth. *J. Anim. Sci*, 78, 1816–1828.
 - 12. Nahashon, S. N., Aggrey, S. E., Adefope, N. & Amenyenu, A. (2006). Modeling Growth Characteristics of Meat-Type Guinea Fowl. *Poult. Sci*, 85, 943-946.
 - 13. National Research Council. (1994). *Nutrient requirements of poultry*, 9th rev. ed. National Academy press, Washington DC (USA).
 - 14. Rogers, S. R., Pesti, G. M. & Marks, H. L. (1987). Comparison of three nonlinear regression models for describing broiler growth curves. *Growth*, 51, 229–239.
 - 15. Roush, W. B., Dozier III, W. A. & Branton, S. L. (2006). Comparison of gompertz and neural network models of broiler chickens. *Poult. Sci*, 85, 794-797.
 - 16. SAS Institute Inc. (1999). *SAS/STAT User's Guide*, Version 8.: SAS Institute Inc., Cary, NC.
 - 17. Tabatabai, M., Williams, D. K. & Bursac, Z. (2005). Hyperbolastic growth models: theory and application. *Theoretical Biology and Medical Modelling*. 2, 14
 - 18. Yang, Y., Mekki1, D. M., Lv, S. J., Wang, L. Y., Yu, J. H. & Wang, J. Y. (2006). Analysis of fitting growth models in Jinghai Mixed-Sex Yellow chicken. *Asian. J. Poult. Sci*, 6, 517-521.